

بِنَمْ خَدا



مرکز دانلود رایگان
محلبسوی مطالب اورژی و مواد

www.Iran-mavad.com



Investigation of Electrochemical Behaviour of Passive Film Formed on 304 Stainless Steel in Nitric Acid Solutions

Abstract

In this study, electrochemical behaviour of passive film formed on 304 stainless steel in nitric acid solutions was investigated by using potentiodynamic polarization, electrochemical impedance spectroscopy (EIS) and Mott–Schottky analyses. Potentiodynamic polarization curves suggested that 304 stainless steel showed excellent passive behaviour in nitric acid solutions. Also, potentiodynamic polarization results indicated that the corrosion current density increases with an increase in solution concentration. EIS results showed that the best electrical equivalent circuit presents two time constants: The first time constant can be correlated with the charge transfer process and the second time constant has been associated with the passive film. Also, EIS results showed that passive film and charge transfer resistance and therefore polarization resistance decrease with an increase in solution concentration. Mott–Schottky analysis revealed that the passive films behave as n-type and p-type semiconductors at potentials below and above the flat band potential, respectively. Also, Mott–Schottky analysis indicated that the donor and acceptor densities are in the range 10^{21} cm^{-3} and increased with solution concentration.

Keywords: Stainless steel; Concentration; Potentiodynamic polarization; Mott–Schottky.

بررسی رفتار الکتروشیمیایی لایه رویین تشکیل شده روی فولاد زنگنزن آستنیتی ۳۰۴ در محلول‌های اسید نیتریک

چکیده

در این تحقیق، رفتار الکتروشیمیایی لایه رویین تشکیل شده روی فولاد زنگنزن ۳۰۴ در محلول‌های اسید نیتریک با روش‌های پلاریزاسیون پتانسیوودینامیک، طیف‌سنجدی امپدانس الکتروشیمیایی و موت-شاتکی بررسی شد. منحنی‌های پلاریزاسیون پتانسیوودینامیک نشان دادند که فولاد زنگنزن ۳۰۴ در محلول‌های اسید نیتریک رفتار رویین عالی را نشان می‌دهد. همچنین، نتایج پلاریزاسیون پتانسیوودینامیک آشکار ساخت که چگالی جریان خودگی با افزایش غلظت محلول، افزایش می‌یابد. نتایج آزمون‌های طیف‌سنجدی امپدانس الکتروشیمیایی نشان داد که بهترین مدار معادل دارای دو ثابت زمانی است: ثابت زمانی اول مربوط به فرایند انتقال بار مرتبط است در حالی که ثابت زمانی دوم مربوط به لایه رویین است. همچنین نتایج طیف‌سنجدی امپدانس الکتروشیمیایی آشکار ساخت که با افزایش غلظت محلول، مقاومت لایه رویین و مقاومت انتقال بار و در نتیجه مقاومت پلاریزاسیون کاهش می‌یابند. آزمون‌های موت-شاتکی آشکار ساخت که رفتار لایه رویین تشکیل شده در پتانسیل‌های کمتر و بیشتر از پتانسیل فلت بند بهتر ترتیب از نوع $n-p$ و نوع $p-n$ می‌باشد. همچنین آزمون‌های موت-شاتکی نشان داد که چگالی دهنده‌ها و گیرنده‌های الکترونی در محدوده 10^{21} بر سانتی‌متر مکعب قرار دارند و با افزایش غلظت محلول افزایش می‌یابند.

کلمات کلیدی: فولاد زنگنزن، غلظت، پلاریزاسیون پتانسیوودینامیک، آزمون موت-شاتکی.

مقدمه

از زمان مطرح شدن پدیده رویین شدن، حجم بالایی از پژوهش‌ها روی این موضوع متمرکز شده است، اما هنوز جزئیات در مورد ساختار و خواص لایه‌های رویین در مقیاس نانومتر به طور کامل مشخص نشده است. رویین شدن به طور طبیعی به صورت یک افت سریع در چگالی جریان آندی در منحنی‌های پلاریزاسیون آندی است که برای بیشتر فلزات و آلیاژها، افت چگالی جریان در حالت رویین در مقایسه با حالت فعال سه برابر یا بیشتر است (مک دونالد^۱، ۲۰۰۴).

به طور کلی لایه رویین، دارای ساختاری دولایه^۲ است. لایه اولیه، لایه محافظ است که به طور مستقیم روی سطح فلز تشکیل می‌شود و برای بیشتر فلزات دارای ضخامتی در حد چند نانومتر است. لایه دیگر لایه خارجی با غلظت عیوب نقطه‌ای بسیار کم است که از طریق هیدرولیز کاتیون‌های خارج شده از لایه داخلی تشکیل می‌شود (کمران نهر^۳، باؤ^۴، مک دونالد^۵، ۲۰۰۵؛ سانچز^۶، گرگوری^۷، آلونسو^۸، گارسیا^۹، ویستنی^{۱۰}، ۲۰۰۶). بررسی ساختار لایه رویین به طور رسمی توسط ساتو^{۱۱} (۱۹۸۲) با ارایه مدل دولایه آغاز شد و پس از آن، از این مدل برای تفسیر مطالعات روی فولادهای زنگنزن استفاده شده است (ساتو، ۱۹۸۲؛ کلیتون^{۱۲}، لو^{۱۳}، ۱۹۸۶). به طور کلی رفتار الکتروشیمیایی لایه رویین فولادهای زنگنزن، عامل مهمی است که رویین شدن و در نتیجه مقاومت به خوردگی را کنترل می‌کند. این رفتار به چندین متنبی وابسته است که شامل ترکیب شیمیایی فولاد، دمای محیط، زمان غوطه‌وری، pH و ترکیب شیمیایی الکتروولیت می‌باشد (دادانه‌ابلو^{۱۴}، هاکی کی^{۱۵}، فریرا^{۱۶}، ۱۹۹۹).

به طور کلی ساختار لایه رویین در تمامی محلول‌های اسیدی دولایه است و رفتار لایه رویین به این ساختار پیچیده مربوط می‌شود که شامل لایه داخلی غنی از هیدروکسید و اکسید کروم و لایه خارجی غنی از اکسید آهن است. با توجه به این که مقاومت به خوردگی عالی فولادهای زنگنزن به خواص محافظتی لایه‌های رویین بستگی دارد، بیشتر تحقیقات بر شناخت این لایه‌ها متمرکز شده است (نانجو^{۱۷} و همکاران، ۲۰۰۶؛ کریشنامرثی^{۱۸}، وايت^{۱۹}، پلوئن^{۲۰}، ۲۰۰۱؛ لیو^{۲۱}، مک دونالد، سان^{۲۲}، پریانتا^{۲۳}).

¹ Macdonald

² Bio-layer

³ Kamrunnahar

⁴ Bao

⁵ Sanchez

⁶ Gregori

⁷ Alonso

⁸ Garcia

⁹ Vicente

¹⁰ Sato

¹¹ Clayton

¹² Lu

¹³ Da Cunha Belo

¹⁴ Hakiki

¹⁵ Ferreira

¹⁶ Nanjo

¹⁷ Krishnamurthy

¹⁸ White

¹⁹ Ploehn

²⁰ Liu

. ۲۰۰۴، ۲۳ جیاوارا.

تحقیقات گوناگونی در مورد رویین شدن فولادهای زنگنزن در محلول‌های اسیدی مانند اسید سولفوریک و اسید کلریدریک انجام شده، در حالی که پژوهش‌ها در مورد تاثیر غلظت اسید نیتریک بر رفتار رویین فولادهای زنگنزن بسیار اندک است (لئو^{۲۴}، دونگ^{۲۵}، لی^{۲۶}، زیانو^{۲۷}، ۲۰۱۲). هدف از این تحقیق، بررسی تاثیر چهار غلظت اسید نیتریک بر رویین شدن و رشد لایه رویین فولاد زنگنزن ۳۰۴ در شرایط پتانسیل مدار باز است. همچنین برای بررسی رفتار نیمه‌هادی لایه رویین تشکیل شده، آزمون موت-شاتکی^{۲۸} نیز انجام شد.

مواد و روش تحقیق

ترکیب شیمیایی فولاد زنگنزن ۳۰۴، که به عنوان الکترود کار در این پژوهش مورد استفاده قرار گرفت، در جدول ۱ نشان داده شده است. برای انجام آزمون‌های الکتروشیمیایی، عملیات سنباده‌زنی تر تا سنباده ۱۲۰۰ و عملیات چربی‌زدایی انجام شد. سپس نمونه‌ها با آب دوار تقطیر شسته و پس از خشک کردن با دمش هوا، به سرعت تحت آزمون‌های مختلف الکتروشیمیایی قرار گرفتند. تمامی آزمون‌ها با استفاده از سل استاندارد تخت، یک عدد الکترود پلاتین به عنوان الکترود کمکی^{۲۹} و الکترود نقره/کلرید نقره به عنوان الکترود مرجع^{۳۰} انجام شدند. لازم به ذکر است که در این پژوهش، تمامی پتانسیل‌ها نسبت به این الکترود مرجع گزارش شده است. برای انجام تمامی آزمون‌های الکتروشیمیایی، از ۲۵۰ میلی‌لیتر محلول‌های ۰/۰۵، ۰/۱۰، ۰/۰۵۰ و ۰/۰۰۵ مولار اسید نیتریک استفاده شد.

جدول ۱- ترکیب شیمیایی فولاد زنگنزن ۳۰۴ (بر حسب درصد وزنی).

درصد وزنی	۰/۰۵	۱۸/۶۲	۸/۲	۱/۱۹	۰/۰۴	۰/۱۵	۰/۲۰	۰/۰۶۰	۰/۰۰۵	با قیمانده	عناصر آلیاژی کربن کروم نیکل منگنز مولیبدن مس کبالت سیلیسیم گوگرد آهن
-----------	------	-------	-----	------	------	------	------	-------	-------	------------	--

²¹ Sun

²² Priyantha

²³ Jayaweera

²⁴ Luo

²⁵ Dong

²⁶ Li

²⁷ Xiao

²⁸ Mott-Schottky analysis

²⁹ Auxiliary Electrode

³⁰ Reference Electrode

به منظور ارزیابی تاثیر غلظت اسید نیتریک بر تشکیل لایه رویین فولاد زنگنزن ۳۰۴ در محلول‌های اسید نیتریک، ابتدا هر نمونه در پتانسیل مدار باز به مدت ۱ ساعت نگهداری شد. سپس آزمون‌های پلاریزاسیون پتانسیویدینامیک (با نرخ روبش ۱ میلی‌ولت بر ثانیه (فنگ^{۳۱}، چنگ^{۳۲}، دونگ^{۳۳}، زو^{۳۴}، لی^{۳۵}، ۲۰۱۰)) و همچنین طیف‌سنجی امپدانس الکتروشیمیایی (در پتانسیل مدار باز و در محدوده فرکانسی ۱۰۰ کیلوهرتز تا ۱۰ میلی‌هرتز با دامنه طول موج ۱۰ میلی‌ولت) انجام شدند. جهت تعیین نوع رفتار لایه رویین تشکیل شده روی سطح فولاد زنگنزن ۳۰۴ و تاثیر غلظت محلول اسید نیتریک، آزمون موت-شاتکی انجام شد و برای این منظور، ابتدا هر نمونه در پتانسیل مدار باز به مدت ۱ ساعت غوطه‌ور و سپس با نرخ روبش ۲۵ میلی‌ولت بر ثانیه، تغییرات ظرفیت خازنی آن بر حسب پتانسیل اعمالی از پتانسیل ۱/۰ تا ۰/۰۴ ولت رسم شد. برای انجام تمام آزمون‌های الکتروشیمیایی، از دستگاه پتانسیوواستات/ گالوانواستات/ اتولب^{۳۶} و نرم‌افزار نووا^{۳۷} استفاده شد.

نتایج و بحث

پلاریزاسیون پتانسیویدینامیک

در شکل ۱ تاثیر چهار محلول اسید نیتریک بر منحنی‌های پلاریزاسیون پتانسیویدینامیک فولاد زنگنزن ۳۰۴ بعد از غوطه‌وری به مدت زمان ۱ ساعت نشان داده شده است. همان‌طور که در این شکل مشاهده می‌شود، فولاد زنگنزن ۳۰۴ در چهار محلول اسید نیتریک دارای رفتار رویین عالی است و محدوده رویین اول برای این فولاد زنگنزن از پتانسیل مدار باز تا پتانسیل شکست لایه رویین، محدوده‌ای بیش از ۱ ولت را شامل می‌شود و افزایش غلظت محلول اسیدی باعث کمتر شدن این محدوده پتانسیلی می‌گردد. همچنین در این شکل مشاهده می‌شود که در محدوده رویین اول، در هر پتانسیل، چگالی جریان رویین با افزایش غلظت افزایش یافته است. البته لازم به ذکر است که در دو محلول ۰/۰۵ و ۰/۱۰ مولار اسید نیتریک، چگالی جریان رویین از پتانسیل ۰/۰۱ تا پتانسیل شکست لایه تقریباً یکسان است. در شکل ۱ همچنین برای سه غلظت ۰/۰۵، ۰/۱۰ و ۰/۱۵ مولار، ناحیه رویین شدن دومی نیز مشاهده می‌شود.

در جدول ۲ مقادیر چگالی جریان و پتانسیل خوردگی و همچنین پتانسیل شکست حاصل از منحنی‌های پلاریزاسیون پتانسیویدینامیک نشان داده شده است. همان‌طور که در این جدول مشاهده می‌شود چگالی جریان خوردگی فولاد زنگنزن ۳۰۴ در محلول‌های ۰/۰۵، ۰/۱۰، ۰/۱۵ و ۰/۲۰ مولار اسید نیتریک در محدوده ۱۰ آمپر بر سانتی‌متر مربع است که نشان‌دهنده مقاومت به خوردگی عالی این فولاد زنگنزن در محلول‌های اسیدی ذکر شده است. همچنین با مشاهده جدول ۲ آشکار می‌شود که مقادیر چگالی جریان و پتانسیل خوردگی و همچنین پتانسیل شکست فولاد زنگنزن ۳۰۴، با افزایش غلظت محلول اسیدی افزایش می‌یابند. البته لازم به ذکر است که افزایش پتانسیل خوردگی برای محلول ۰/۰۵ مولار بسیار بیشتر از محلول ۰/۰۰ مولار بوده است.

³¹ Feng

³² Cheng

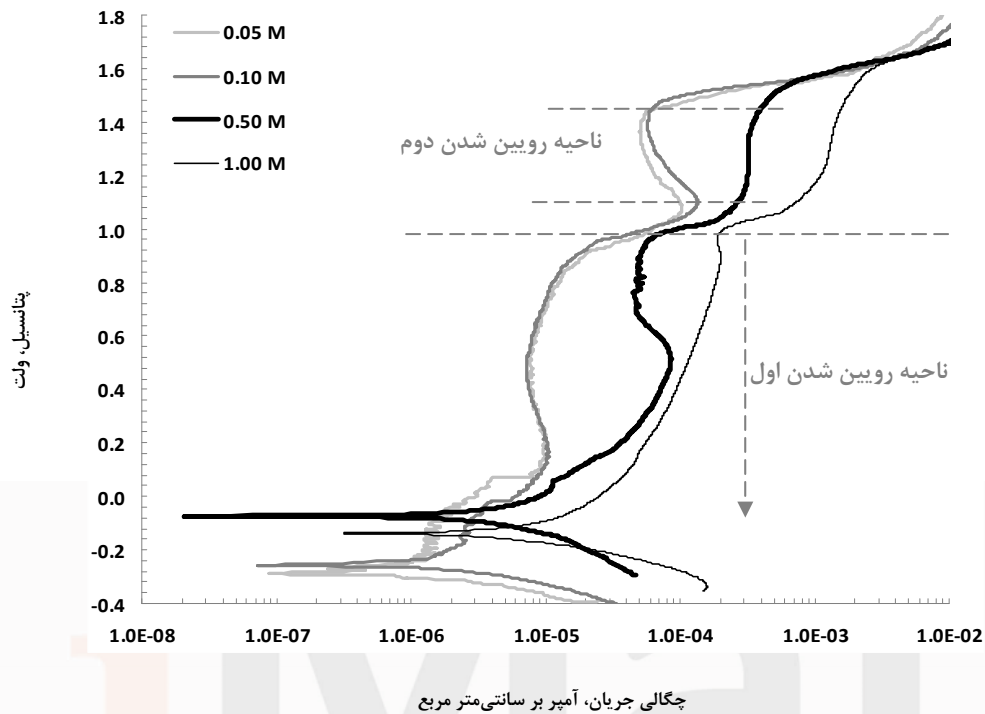
³³ Dong

³⁴ Xu

³⁵ Li

³⁶ Autolab

³⁷ NOVA

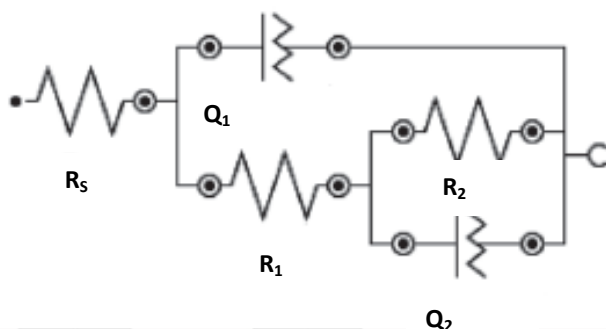


شکل ۱- منحنی‌های پلاریزاسیون پتانسیوبدینامیک فولاد زنگ‌زن ۳۰۴ در چهار محلول اسید نیتریک.

جدول ۲- تاثیر غلظت محلول‌های اسیدی بر چگالی جریان و پتانسیل خوردگی و همچنین پتانسیل شکست لایه رویین.

چگالی جریان خوردگی	پتانسیل خوردگی	پتانسیل شکست لایه رویین	(ولت)	(ولت)	(آمپر بر سانتی‌متر مربع)	
محلول ۰/۰۵ مولار اسید نیتریک	-۰/۲۸۴	-۰/۵ × ۱۰ ^{-۶}	-۰/۸۵۲	-۰/۲۸۴		
محلول ۰/۱۰ مولار اسید نیتریک	-۰/۲۵۱	۱/۲ × ۱۰ ^{-۶}	-۰/۹۶۳	-۰/۲۵۱		
محلول ۰/۵۰ مولار اسید نیتریک	-۰/۰۷۶	۲/۸ × ۱۰ ^{-۶}	-۰/۹۷۸	-۰/۰۷۶		
محلول ۱/۰۰ مولار اسید نیتریک	-۰/۱۳۷	۵/۸ × ۱۰ ^{-۶}	-۰/۹۹۷	-۰/۱۳۷		

برای مدل سازی منحنی‌های نایکوپیست، از مدار معادل الکتریکی شکل ۳ استفاده شد. در این مدار معادل دو شاخه $R//Q$ نشان دهنده واکنش‌های الکتروشیمیایی رخ داده شده در لایه رویین و در فصل مشترک لایه رویین/ محلول است. در این شکل R_1 و Q_1 به ترتیب مقاومت انتقال بار و المان فاز ثابت مربوط به لایه دوگانه الکتریکی در فصل مشترک لایه رویین/ محلول و R_2 و Q_2 مقاومت و المان فاز ثابت مربوط به لایه رویین است (اسریوا-سردان^{۳۸}، بلاسکو-تماریت^{۳۹}، گارسیا-گارسیا^{۴۰}، گارسیا-آنتونا^{۴۱}، گین بور^{۴۲}، متیکوس-هوک اویک^{۴۳}، بابیک^{۴۴}، گرابک^{۴۵}، پتروویک^{۴۶}، لاجسی^{۴۷}، ۲۰۱۲، ۲۰۱۱).



شکل ۳ - مدار معادل الکتریکی مناسب برای مدل سازی منحنی‌های نایکوپیست فولاد زنگ‌زن^{۴۰}

(اسریوا-سردان و همکاران، ۲۰۱۲؛ متیکوس-هوک و همکاران، ۲۰۱۱).

در شکل ۴ نمودارهای نایکوپیست به همراه نمودارهای به دست آمده از مدل سازی با مدار معادل شکل ۳ نشان داده شده است و مشاهده می‌شود که انطباق مناسبی بین داده‌های حاصل از آزمایش و منحنی‌های مدل سازی شده وجود دارد.

در جدول ۳ مقادیر المان‌های حاصل از مدل سازی با استفاده از مدار معادل شکل ۳ نشان داده شده است. همان‌طور که در این جدول مشاهده می‌شود با افزایش غلظت محلول اسید نیتریک، مقاومت انتقال بار و مقاومت لایه رویین کاهش یافته است و در نتیجه مقاومت پلاریزاسیون که حاصل جمع این دو مقاومت می‌باشد (لنو و همکاران، ۲۰۱۲)، نیز کاهش می‌یابد.

³⁸ Escrivà-Cerdán

³⁹ Blasco-Tamarit

⁴⁰ García-García

⁴¹ García-Antóna

⁴² Guenbour

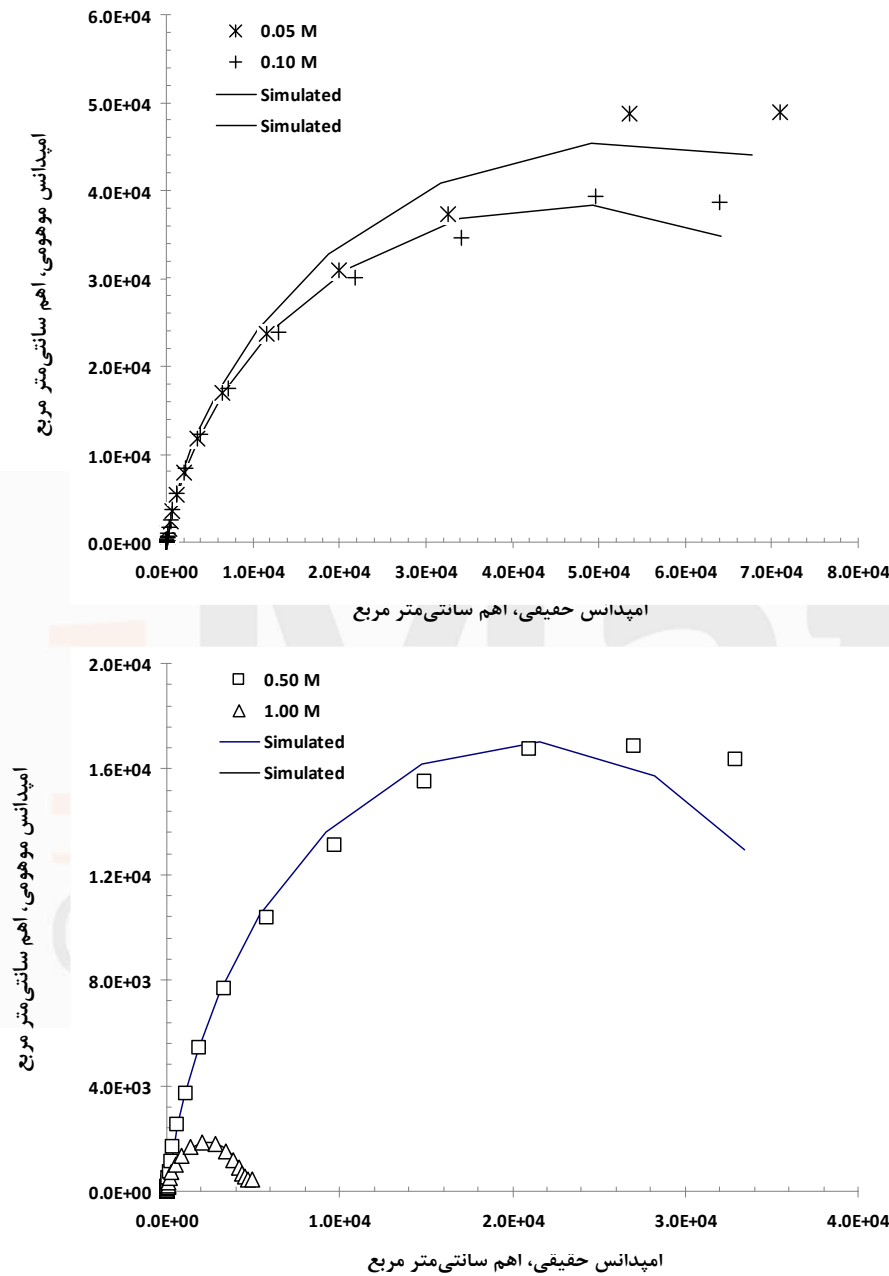
⁴³ Metikoš-Hukovic

⁴⁴ Babic

⁴⁵ Grubac

⁴⁶ Petrovic

⁴⁷ Lajčí



شکل ۴- منحنی‌های نایکوبست فولاد زنگزن ۳۰۴ و منحنی‌های حاصل از مدل‌سازی با مدار معادل شکل ۳.

جدول ۳- مقادیر المان‌های حاصل از مدل‌سازی با استفاده از مدار معادل شکل ۲.

n_2	γ_2	R_2	n_1	γ_1	R_1	R_s
	$(\mu F \text{ cm}^{-2} \text{ s}^{n-1})$	$(K\Omega \text{ cm}^2)$		$(\mu F \text{ cm}^{-2} \text{ s}^{n-1})$	$(\Omega \text{ cm}^2)$	$(\Omega \text{ cm}^2)$
۰/۸۳۶	۰/۴۶۳	۱۰/۹/۵	۰/۹۷۵	۰/۳۴۶	۱۵/۴۱	۲۴/۶۱
۰/۸۳۰	۰/۴۶۱	۹۳/۰/۲۵	۰/۹۷۵	۰/۳۰۹	۱۶/۵۱	۱۳/۴
۰/۹۹۲	۰/۴۹۴	۴۱/۶۶	۰/۸۶۲	۰/۸۶۵	۱۱/۷	۴/۸۴
۰/۷۹۰	۰/۸۲۰	۴/۷۳	۰/۹۶۵	۰/۳۶۰	۴/۷۶	۲/۶۸
محلول ۰/۰۵ مولار						
محلول ۰/۱۰ مولار						
محلول ۰/۵۰ مولار						
محلول ۱/۰۰ مولار						

آزمون موت- شاتکی

آزمون موت- شاتکی یکی از روش‌های تعیین رفتار نیمه‌هادی نوع-n و یا نوع-p لایه رویین و همچنین بررسی عیوب موجود در آن است. شکل ۵ منحنی‌های موت- شاتکی برای لایه رویین تشکیل شده روی فولاد زنگ‌زن ۳۰۴ در محلول‌های ۰/۰۵، ۰/۱۰، ۰/۵۰ و ۱/۰۰ مولار اسید نیتریک بعد از غوطه‌وری به مدت زمان ۱ ساعت تحت شرایط پتانسیل مدار باز را نشان می‌دهد.

همان‌طور که در این شکل مشاهده می‌شود منحنی‌های موت- شاتکی دارای رفتار مشابهی هستند و سه ناحیه مجزا برای آن‌ها مشاهده می‌شود. ناحیه اول در پتانسیل‌های کمتر از ۰/۰ ولت قرار دارد که شبیه آن منفی است و نشان‌دهنده لایه رویین تشکیل شده نوع-p است. در ناحیه دوم که از پتانسیل ۰/۰۵ تا حدود ۰/۶ ولت را شامل می‌شود، شبیه مثبت نشان‌دهنده رفتار نیمه‌هادی نوع-n برای لایه رویین تشکیل شده است. برای رفتار نوع-n، شبیب به‌طور معکوس با چگالی دهنده‌های الکترون^{۴۸} (N_D) متناسب است. در نهایت برای پتانسیل‌های بیش‌تر از ۰/۶ ولت (ناحیه سوم)، شبیب منفی می‌شود که نشان‌دهنده لایه رویین تشکیل شده نوع-p است. برای رفتار نوع-p، شبیب به‌طور معکوس با چگالی گیرنده‌های الکترون^{۴۹} (N_A) متناسب است. منحنی‌های موت- شاتکی در شکل ۵ مانند منحنی‌های گزارش شده برای لایه رویین تشکیل شده روی فولادهای زنگ‌زن آستنیتی در محیط‌های اسیدی مشابه است (دادا^{۵۰}، دئی^{۵۱}، دی^{۵۲}، ۶^{۵۳}، ۲۰۰۶^{۵۴}، گابن^{۵۵}، ۲۰۰۴^{۵۵}؛ مکاک^{۵۶}، ساجدل^{۵۷}، کیسرای^{۵۸}، نوتی^{۵۹}، وستا^{۶۰}، ۲۰۰۶^{۶۱}).

⁴⁸ Donor density (N_D)

⁴⁹ Acceptor density (N_A)

⁵⁰ Dutta

⁵¹ Dey

⁵² De

⁵³ Gaben

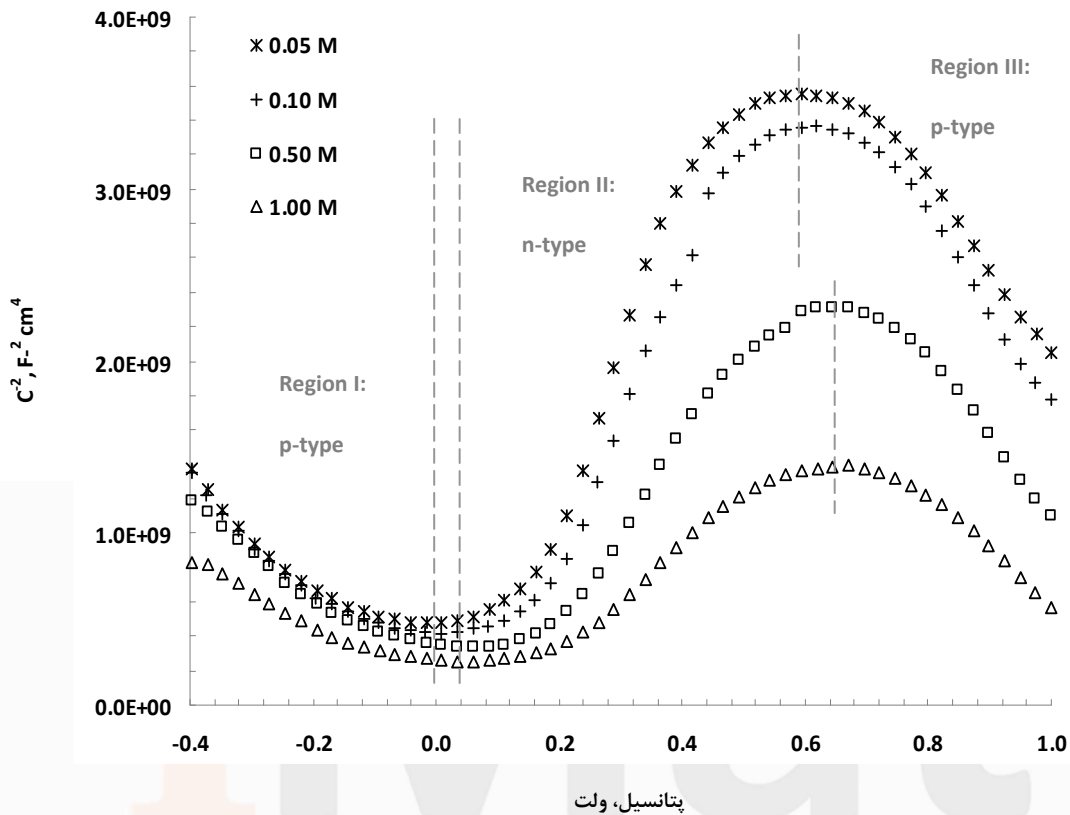
⁵⁴ Vuillemin

⁵⁵ Oltra

⁵⁶ Macak

⁵⁷ Sajdl

⁵⁸ Kucera



شکل ۵- منحنی‌های موت-شاتکی فولاد زنگ‌زن ۳۰۴ در چهار محلول اسید نیتریک بعد از ۱ ساعت غوطه‌وری.

به طور کلی برای رفتار نیمه‌هادی نوع-p و نوع-n به ترتیب معادلات موت-شاتکی به صورت روابط ۱ و ۲ است (دادا و همکاران، ۲۰۰۶؛ گابن و همکاران، ۲۰۰۴؛ مکاک و همکاران، ۲۰۰۶):

$$\frac{1}{C_{SC}^2} = \frac{-2}{\hat{\varepsilon}\varepsilon_o e N_A} \left(E - E_{fb} + \frac{k_B T}{e} \right) \quad (1)$$

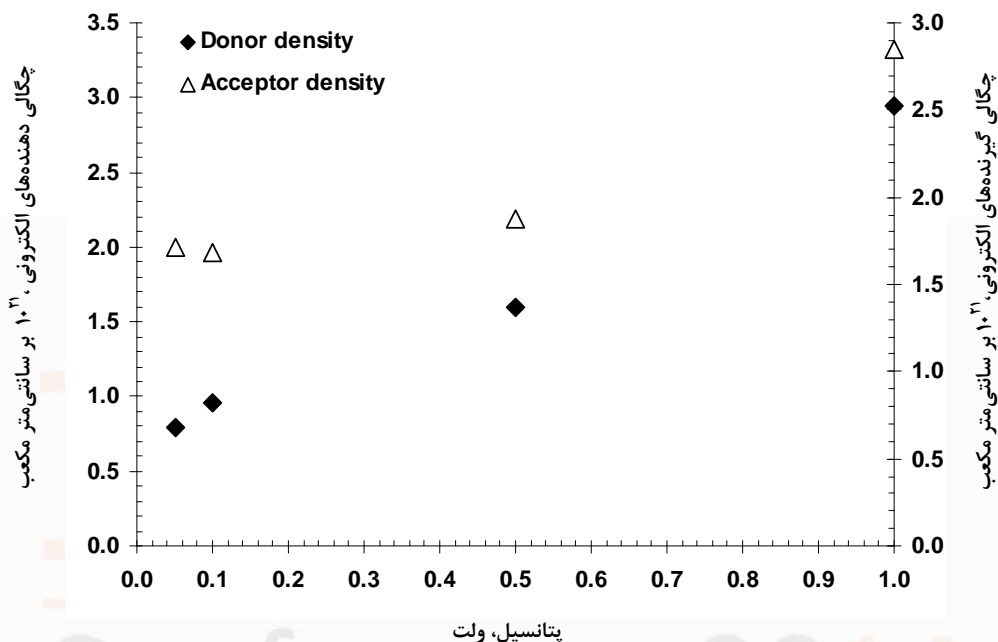
$$\frac{1}{C_{SC}^2} = \frac{2}{\hat{\varepsilon}\varepsilon_o e N_D} \left(E - E_{fb} - \frac{k_B T}{e} \right) \quad (2)$$

در این معادلات، $\hat{\varepsilon}$ ثابت دی الکترونیک لایه رویین، ε_0 نفوذپذیری خلا ($8/85 \times 10^{-14}$ F/m)، e بار الکترونیکی الکترون (10^{-19} C)، N_A و N_D بر حسب E m⁻³ پتانسیل اعمالی بر حسب ولت، E_{fb} پتانسیل فلت، k_B ثابت بولتزمن

⁵⁹ Novotny

⁶⁰ Vosta

دما بر حسب درجه کلوین است. معادلات ۱ و ۲ نشان می‌دهند که با محاسبه شب منحنی‌های موت-شاتکی، به ترتیب N_D و N_A را با دانستن مقادیر e ، \hat{e} و $\hat{\epsilon}$ (۱۵/۶) می‌توان به دست آورد (کیائو^{۶۱}، زنگ^{۶۲}، کی^{۶۳}، اوکافور^{۶۴}، یانگ^{۶۵}، گیو^{۶۶}، لیو^{۶۷}، لی^{۶۸}، لی^{۶۹}، ونگ^{۷۰}، ونگ^{۷۱}). ۲۰۰۹ در شکل ۶ مقادیر چگالی دهنده‌ها و گیرنده‌های الکترونی برای لایه رویین فولاد زنگ‌زن^{۳۰} در چهار محلول اسید نیتریک ارائه شده است.



شکل ۶- تأثیر غلظت محلول اسید نیتریک بر مقادیر چگالی دهنده‌ها و گیرنده‌های الکترونی محاسبه شده.

⁶¹ Qiao
⁶² Zheng
⁶³ Ke
⁶⁴ Okafor
⁶⁵ Yang
⁶⁶ Guo
⁶⁷ Liu
⁶⁸ Li
⁶⁹ Li
⁷⁰ Wang
⁷¹ Wang

همان‌طور که در شکل ۶ مشاهده می‌شود چگالی دهنده‌ها و گیرنده‌های الکترونی در محدوده 10^{21} بر سانتی‌متر مکعب قرار دارد که برای دیگر فولادهای زنگ‌زن آستنیتی در محیط‌های اسیدی مشابه نیز گزارش شده است (اوگازی^{۷۲} و همکاران، ۲۰۱۰). به‌طور مثال چگالی دهنده‌های الکترونی برای لایه رویین فولاد زنگ‌زن $30^{\circ}C$ در محلول اسید سولفوریک، $10^{21} \times 10^{21}$ بر سانتی‌متر مکعب گزارش شده است (دی پائولا^{۷۳}، ۱۹۸۹). در بررسی تاثیر تنفس الاستیک بر خواص نیمه‌هادی لایه رویین فولاد زنگ‌زن 316 کم کربن در محلول $20^{\circ}C$ مولار کلرید سدیم، چگالی دهنده‌های الکترونی را 10^{21} بر سانتی‌متر مکعب گزارش شده است (ویگنال^{۷۴}، الترا^{۷۵}، ورنیو^{۷۶}، کودریوس^{۷۷}، ۲۰۰۱؛ ویگنال، والوت^{۷۸}، الترا، ورنیو، کودریوس، ۲۰۰۲). در شکل ۶ همچنین مشاهده می‌شود که با افزایش غلظت محلول، چگالی دهنده‌ها و گیرنده‌های الکترونی افزایش می‌یابند که نشان‌دهنده کاهش خواص محافظتی لایه رویین است.

نتیجه‌گیری

- ۱) منحنی‌های پلاریزاسیون پتانسیویدینامیک نشان داد که فولاد زنگ‌زن $30^{\circ}C$ دارای رفتار رویین عالی در چهار محلول اسید نیتریک است. همچنین نتایج آشکار ساخت که مقادیر چگالی جریان و پتانسیل خوردگی و همچنین پتانسیل شکست، با افزایش غلظت محلول اسیدی افزایش می‌یابند.
- ۲) نتایج آزمون‌های طیف‌سنجی امپدانس الکتروشیمیایی نشان داد که بهترین مدار معادل دارای دو ثابت زمانی است: ثابت زمانی اول مربوط به فرایند انتقال بار مرتبه و ثابت زمانی دوم مربوط به لایه رویین است.
- ۳) همچنین نتایج آزمون‌های طیف‌سنجی امپدانس الکتروشیمیایی نشان داد که با افزایش غلظت محلول اسید نیتریک، مقاومت انتقال بار و مقاومت لایه رویین و در نتیجه مقاومت پلاریزاسیون (که از حاصل جمع آن‌ها به دست می‌آید) نیز کاهش می‌یابد.
- ۴) آزمون‌های موت-شاتکی نشان داد که در منحنی‌های موت-شاتکی فولاد زنگ‌زن $30^{\circ}C$ ، به ترتیب سه رفتار نیمه‌هادی نوع-p، نوع-n و نوع-p مشاهده می‌شود که مانند منحنی‌های موت-شاتکی دیگر فولادهای زنگ‌زن آستنیتی در محیط‌های اسیدی مشابه است.
- ۵) همچنین نتایج آزمون‌های موت-شاتکی نشان داد که چگالی دهنده‌ها و گیرنده‌های الکترونی به دست آمده برای فولاد زنگ‌زن $30^{\circ}C$ مانند دیگر فولادهای زنگ‌زن آستنیتی در محیط‌های اسیدی مشابه، در محدوده 10^{21} بر سانتی‌متر مکعب قرار دارد.
- ۶) همچنین نتایج آزمون‌های موت-شاتکی نشان داد که با افزایش غلظت محلول اسیدی، چگالی دهنده‌ها و گیرنده‌های الکترونی افزایش می‌یابند که نشان‌دهنده کاهش خواص محافظتی لایه رویین است.

مراجع

Clayton, C., & Lu, Y. (1986). "A bipolar model of the passivity of stainless steel: The role of Mo addition". *Journal of the Electrochemical Society*, Vol. 133, Pp. 2465-2473.

⁷² Oguzie

⁷³ Di Paola

⁷⁴ Vignal

⁷⁵ Oltra

⁷⁶ Verneau

⁷⁷ Coudreuse

⁷⁸ Valot

- Da Cunha Belo, M., Hakiki, N., & Ferreira, M. (1999). "Semiconducting properties of passive films formed on nickel-base alloys type Alloy 600: influence of the alloying elements". *Electrochimica acta*, Vol. 44, Pp. 2473-2481.
- Dutta, R., Dey, G., & De, P. (2006). "Characterization of microstructure and corrosion properties of cold worked Alloy 800". *Corrosion science*, Vol. 48, Pp. 2711-2726.
- Escrivà-Cerdán, C., Blasco-Tamarit, E., García-García, D., García-Antón, J., & Guenbour, A. (2012). "Effect of potential formation on the electrochemical behaviour of a highly alloyed austenitic stainless steel in contaminated phosphoric acid at different temperatures". *Electrochimica acta*, Vol. 80, Pp. 248-256.
- Feng, Z., Cheng, X., Dong, C., Xu, L., & Li, X. (2010). "Effects of dissolved oxygen on electrochemical and semiconductor properties of 316L stainless steel". *Journal of Nuclear Materials*, Vol. 407, Pp. 171-177.
- Gaben, F., Vuillemin, B., & Oltra, R. (2004). "Influence of the chemical composition and electronic structure of passive films grown on 316L SS on their transient electrochemical behavior". *Journal of the Electrochemical Society*, Vol. 151, Pp. B595-B604.
- Kamrunnahar, M., Bao, J., & Macdonald, D. D. (2005). "Challenges in the theory of electron transfer at passive interfaces". *Corrosion science*, Vol. 47, Pp. 3111-3139.
- Krishnamurthy, B., White, R. E., & Ploehn, H. J. (2001). "Non-equilibrium point defect model for time-dependent passivation of metal surfaces". *Electrochimica acta*, Vol. 46, Pp. 3387-3396.
- Li, N., Li, Y., Wang, S., & Wang, F. (2006). "Electrochemical corrosion behavior of nanocrystallized bulk 304 stainless steel". *Electrochimica acta*, Vol. 52, Pp. 760-765.
- Liu, J., & Macdonald, D. D. (2001). "The passivity of iron in the presence of ethylenediaminetetraacetic acid. II. The defect and electronic structures of the barrier layer". *Journal of the Electrochemical Society*, Vol. 148, Pp. B425-B430.
- Luo, H., Dong, C., Li, X., & Xiao, K. (2012). "The electrochemical behaviour of 2205 duplex stainless steel in alkaline solutions with different pH in the presence of chloride". *Electrochimica acta*, Vol. 64, Pp. 211-220.
- Macák, J., Sajdl, P., Kučera, P., Novotný, R., & Vošta, J. (2006). "In situ electrochemical impedance and noise measurements of corroding stainless steel in high temperature water". *Electrochimica acta*, Vol. 51, Pp. 3566-3577.
- Macdonald, D. D. (2004). Passive films: nature's exquisitely nano-engineered protection system. *Current Applied Physics*, Vol. 4, Pp. 129-132.
- Macdonald, D. D., Sun, A., Priyantha, N., & Jayaweera, P. (2004). "An electrochemical impedance study of Alloy-22 in NaCl brine at elevated temperature: II. Reaction mechanism analysis". *Journal of Electroanalytical Chemistry*, Vol. 572, Pp. 421-431.
- Metikoš-Huković, M., Babić, R., Grubač, Z., Petrović, Ž., & Lajči, N. (2011). "High corrosion resistance of austenitic stainless steel alloyed with nitrogen in an acid solution". *Corrosion science*, Vol. 53, Pp. 2176-2183.
- Nanjo, H., Fujimura, M., Laycock, N., Xia, Z., Nishioka, M., Ishikawa, I., & Onagawa, J. (2006). "Nanoscale surface properties of iron treated by electrochemical and physico-chemical methods". *Current Applied Physics*, Vol. 6, Pp. 448-452.
- Oguzie, E. E., Li, J., Liu, Y., Chen, D., Li, Y., Yang, K., & Wang, F. (2010). "The effect of Cu addition on the electrochemical corrosion and passivation behavior of stainless steels". *Electrochimica acta*, Vol. 55, Pp. 5028-5035.
- Paola, A. D. (1989). "Semiconducting properties of passive films on stainless steels". *Electrochimica acta*, Vol. 34, Pp. 203-210.
- Qiao, Y., Zheng, Y., Ke, W., & Okafor, P. (2009). "Electrochemical behaviour of high nitrogen stainless steel in acidic solutions". *Corrosion science*, Vol. 51, Pp. 979-986.
- Sánchez, M., Gregori, J., Alonso, M., García-Jareño, J., & Vicente, F. (2006). "Anodic growth of passive layers on steel rebars in an alkaline medium simulating the concrete pores". *Electrochimica acta*, Vol. 52, Pp. 47-53.
- Sato, N. (1982). "Anodic breakdown of passive films on metals". *Journal of the Electrochemical Society*, Vol. 129, Pp. 255-260.

- Vignal, V., Oltra, R., Verneau, M., & Coudreuse, L. (2001). "Influence of an elastic stress on the conductivity of passive films". *Materials Science and Engineering: A*, Vol. 303, Pp. 173-178.
- Vignal, V., Valot, C., Oltra, R., Verneau, M., & Coudreuse, L. (2002). "Analogy between the effects of a mechanical and chemical perturbation on the conductivity of passive films". *Corrosion science*, Vol. 44 , Pp. 1477-1496.
- Yang, Y., Guo, L.-j., & Liu, H. (2010). "Effect of fluoride ions on corrosion behavior of SS316L in simulated proton exchange membrane fuel cell (PEMFC) cathode environments". *Journal of Power Sources*, Vol. 195, Pp. 5651-5659.

